

# Интегрируемые дискретные уравнения на треугольной решетке и эволюционные цепочки порядка 2

В.Э. Адлер

ИТФ им. Л.Д. Ландау

Черноголовка · 10 апреля 2020

За последние несколько лет получены некоторые классификационные результаты для интегрируемых цепочек второго порядка по сдвигам

$$\dot{u}_n = f(u_{n-2}, u_{n-1}, u_n, u_{n+1}, u_{n+2}), \quad n \in \mathbb{Z}. \quad (1)$$

В докладе представлены примеры таких цепочек из

[1] ВА. ТМФ 195:1 (2018) [27–43](#).

Они связаны с дискретными уравнениями на треугольной решётке. Показано, что определенная линейная комбинация непрерывных симметрий таких уравнений, ограниченная на одну из осей решётки, может быть записана в виде (1). Хотя это довольно специальная конструкция, она позволила существенно расширить список известных примеров.

Общее описание цепочек (1) остаётся очень сложной открытой задачей.

$$\dot{u}_n = f(u_{n-1}, u_n, u_{n+1})$$

**Теорема.** (Ямилов, 1983) Уравнение  $\dot{u}_n = f(u_{n-1}, u_n, u_{n+1})$ , обладающее высшими симметриями и законами сохранения, приводится точечной заменой к одному из следующего списка:

$$\dot{u} = P(u)(u_1 - u_{-1}), \quad (V_1)$$

$$\dot{u} = P(u^2) \left( \frac{1}{u_1 + u} - \frac{1}{u + u_{-1}} \right), \quad (V_2)$$

$$\dot{u} = Q(u) \left( \frac{1}{u_1 - u} + \frac{1}{u - u_{-1}} \right), \quad (V_3)$$

$$\dot{u} = \frac{R(u_1, u, u_{-1}) + \nu(R(u_1, u, u_1)R(u_{-1}, u, u_{-1}))^{1/2}}{u_1 - u_{-1}}, \quad \nu = 0, \pm 1, \quad (V_4)$$

... (+ еще 7 случаев),

где  $\deg P \leq 2$ ,  $\deg Q \leq 4$ ,

$$R(u, v, w) = (\alpha v^2 + 2\beta v + \gamma)uw + (\beta v^2 + \lambda v + \delta)(u + w) + \gamma v^2 + 2\delta v + \varepsilon.$$

Если кроме точечных замен рассматривать также подстановки типа преобразования Миуры, то весь список оказывается эквивалентным всего двум уравнениям:

- цепочке Вольтерра (тип  $V_1$ )

$$\dot{u} = u(u_1 - u_{-1}),$$

- цепочке  $V_4$  с  $\nu = 0$

$$\dot{u} = \frac{R(u_1, u, u_{-1})}{u_1 - u_{-1}},$$

которая служит дифференциально-разностным аналогом уравнения Кричевера–Новикова  $u_t = u_{xxx} - \frac{3(u_{xx}^2 - r(u))}{2u_x}$ ,  $\deg r \leq 4$ .

(Если  $r$  имеет кратный корень, то КН сводится к КдФ. Точно так же,  $V_4$  в специальных случаях сводится к  $V_1$ ).

$$\dot{u}_n = f(u_{n-2}, u_{n-1}, u_n, u_{n+1}, u_{n+2})$$

До недавнего времени примеры исчерпывались цепочкой Богоявленского

$$\dot{u} = u(u_2 + u_1 - u_{-1} - u_{-2}) \quad (2)$$

и ее модификациями при помощи подстановок типа Миуры. Ряд новых уравнений найден в работах

- [2] VA, V.V. Postnikov. *J. Phys. A* **44** (2011) [415203](#)
- [3] Р.Н. Гарифуллин, А.В. Михайлов, Р.И. Ямилов. *ТМФ* **180:1** (2014) [17–34](#)
- [4] VA. *Funct. Anal. Appl.* **50:4** (2016) [257–267](#)
- [5] R.N. Garifullin, R.I. Yamilov, D. Levi. *J. Phys. A* **50:12** (2017) [125201](#); **51:6** (2018) [065204](#)

Получена классификация в некоторых частных постановках (линейность по  $u_{\pm 2}$ , инвариантность относительно дробно-линейных замен), но в общем виде задача слишком сложна. По сравнению с первым порядком, ответ содержит больше неэквивалентных уравнений (с точностью до точечных замен и подстановок).

Кроме (2), известны еще такие примеры (скорее всего, список неполный):

$$\dot{u} = u^2(u_2u_1 - u_{-1}u_{-2}) - u(u_1 - u_{-1}),$$

$$\dot{u} = (u_1u - 1)(uu_{-1} - 1)(u_2 - u_{-2}),$$

$$\dot{u} = (u^2 + 1)\left(u_2\sqrt{u_1^2 + 1} - u_{-2}\sqrt{u_{-1}^2 + 1}\right),$$

$$\dot{u} = (u + 1)\left(u_2\left(\frac{1}{u_1} + 1\right)u - u\left(\frac{1}{u_{-1}} + 1\right)u_{-2} + u_1 - u_{-1}\right), \quad (3)$$

$$\dot{u} = \frac{H(u_{-1}, u)H(u, u_1)(u_2 - u_{-2})}{P(u_{-2}, u_{-1}, u, u_1)P(u_{-1}, u, u_1, u_2)}, \quad (4)$$

где  $P(u_{-1}, u, u_1, u_2)$  — многочлен степени 1 по каждой переменной, с группой симметрии квадрата

$$P(u_{-1}, u, u_1, u_2) = P(u_2, u_1, u, u_{-1}) = P(u_1, u, u_{-1}, u_2),$$

и  $H(u, u_1) = H(u_1, u)$  симметричный биквадратичный многочлен

$$H(u, u_1) = \partial_{-1}(P)\partial_2(P) - \partial_{-1}\partial_2(P)P.$$

Цепочка (4) найдена в [1] на основе конструкции из старых работ

- [6] VA. *Funct. Anal. Appl.* **34:1** (2000) [1–9](#)
- [7] VA. *J. Nonl. Math. Phys.* **7:1** (2000) [34–56](#)
- [8] VA. Yu.B. Suris. *Intl. Math. Res. Notices* (2004) [2523–2553](#).

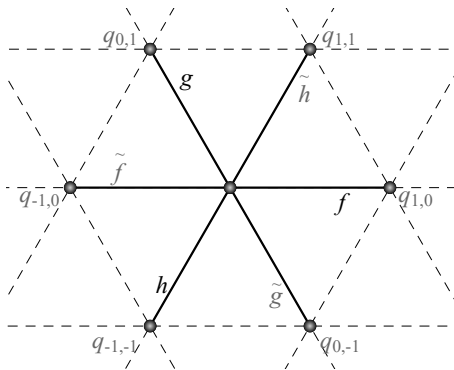
связанных с дискретными уравнениями на треугольной решетке. В специальных случаях эта цепочка сводится к (3).

# Уравнения на решетке

В [6,7,8] получен некоторый список дискретных уравнений на  $\mathbb{Z}^2$  вида

$$\begin{aligned} E = f(q, q_{1,0}) - \tilde{f}(q, q_{-1,0}) + g(q, q_{0,1}) - \tilde{g}(q, q_{0,-1}) \\ + h(q, q_{-1,-1}) - \tilde{h}(q, q_{1,1}) = 0, \end{aligned} \quad (5)$$

допускающих вложение в  $\mathbb{Z}^3$   
(что можно интерпретировать  
как наличие дискретных  
симметрий типа преобразований  
Бэклунда). Сейчас мы не будем  
рассматривать эти дискретные  
симметрии, вместо них  
рассмотрим непрерывные.

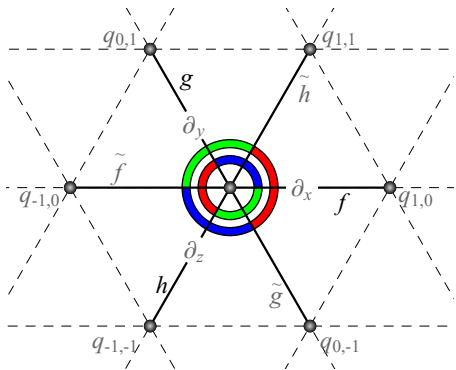


# Уравнения на решетке

В [6,7,8] получен некоторый список дискретных уравнений на  $\mathbb{Z}^2$  вида

$$\begin{aligned} E = f(q, q_{1,0}) - \tilde{f}(q, q_{-1,0}) + g(q, q_{0,1}) - \tilde{g}(q, q_{0,-1}) \\ + h(q, q_{-1,-1}) - \tilde{h}(q, q_{1,1}) = 0, \end{aligned} \quad (5)$$

допускающих вложение в  $\mathbb{Z}^3$   
(что можно интерпретировать  
как наличие дискретных  
симметрий типа преобразований  
Бэклунда). Сейчас мы не будем  
рассматривать эти дискретные  
симметрии, вместо них  
рассмотрим непрерывные.



# Непрерывные симметрии

Оказывается, что все уравнения из списка совместны с дифференцированиями вида

$$q_{,x} = a(q, f - \tilde{g} - \tilde{h}) = a(q, \tilde{f} - g - h),$$

$$q_{,y} = b(q, -\tilde{f} + g - \tilde{h}) = b(q, -f + \tilde{g} - h),$$

$$q_{,z} = c(q, -\tilde{f} - \tilde{g} + h) = c(q, -f - g + \tilde{h}),$$

с некоторыми функциями  $a, b, c$  (своими для каждого уравнения). Два выражения для каждого дифференцирования совпадают в силу уравнения  $E = 0$ , а совместность означает, что выполняются тождества

$$\partial_x(E)|_{E=0} = 0, \quad \partial_y(E)|_{E=0} = 0, \quad \partial_z(E)|_{E=0} = 0.$$

Более того, дифференцирования совместны и друг с другом:

$$[\partial_x, \partial_y] = [\partial_x, \partial_z] = [\partial_y, \partial_z] = 0 \quad \text{при } E = 0.$$

# Ограничение на прямую

Рассмотрим уравнения вдоль одной из осей решетки, например  $(n, 0)$ .

Переменные на параллельной прямой  $(n, 1)$  обозначим через  $p_n$ . Тогда  $\partial_y$  и  $\partial_z$  запишутся в виде 2-компонентных цепочек:

$$q_{,y} = b(q, -\tilde{f}(q, q_{-1}) + g(q, p) - \tilde{h}(q, p_1)),$$

$$p_{,y} = b(p, -f(p, p_1) + \tilde{g}(p, q) - h(p, q_{-1})),$$

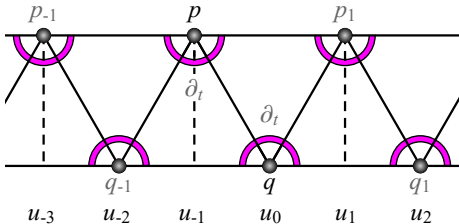
$$q_{,z} = c(q, -f(q, q_1) - g(q, p) + \tilde{h}(q, p_1)),$$

$$p_{,z} = c(p, -\tilde{f}(p, p_{-1}) - \tilde{g}(p, q) + h(p, q_{-1}))$$

(про второй индекс можно забыть, он фиксирован). Переобозначив

$$u_{2k} = q_k = q_{k,0}, \quad u_{2k-1} = p_k = q_{k,1},$$

получим цепочки второго порядка, но не автономные, а «мигающие» — с разными уравнениями для чётных и нечётных узлов. Однако, при определённых условиях симметрии, уравнения можно сделать одинаковыми, рассмотрев линейную комбинацию  $\partial_y$  и  $\partial_z$ .



**Утверждение.** Пусть рассматриваемые уравнения таковы, что

$$b(u, v) = c(u, v), \quad g(u, v) = h(u, v), \quad \tilde{g}(u, v) = \tilde{h}(u, v),$$

тогда сумма потоков  $\partial_t = \partial_y + \partial_z$  описывается автономной эволюционной цепочкой второго порядка:

$$\begin{aligned} \dot{u} = & b(u, -\tilde{f}(u, u_{-2}) + g(u, u_{-1}) - \tilde{g}(u, u_1)) \\ & + b(u, -f(u, u_2) - g(u, u_{-1}) + \tilde{g}(u, u_1)). \end{aligned}$$

# Самый простой пример

Дискретное уравнение:

$$\frac{\alpha}{q_{1,0} - q} - \frac{\alpha}{q - q_{-1,0}} + \frac{\beta}{q_{0,1} - q} - \frac{\beta}{q - q_{0,-1}} + \frac{\gamma}{q_{-1,-1} - q} - \frac{\gamma}{q - q_{1,1}} = 0,$$

где  $\alpha + \beta + \gamma = 0$ .

Дифференцирование:

$$\begin{aligned}\frac{1}{\partial_x(q)} &= \frac{\alpha}{q_{1,0} - q} - \frac{\beta}{q - q_{0,-1}} - \frac{\gamma}{q - q_{1,1}} \\ &= \frac{\alpha}{q - q_{-1,0}} - \frac{\beta}{q_{0,1} - q} - \frac{\gamma}{q_{-1,-1} - q}\end{aligned}$$

и аналогично для  $\partial_y, \partial_z$  (по циклу).

# Самый простой пример

Условие симметричности (чтобы не было «мигания» в уравнениях для  $u$ ) приводит к ограничению  $\beta = \gamma$ ,  $\alpha = -2\gamma$ , при этом поток  $\partial_t = \partial_y + \partial_z$  описывается уравнением

$$\dot{u} = \frac{1}{\frac{2}{u_2-u} + \frac{1}{u-u_1} + \frac{1}{u-u_{-1}}} - \frac{1}{\frac{2}{u_{-2}-u} + \frac{1}{u-u_1} + \frac{1}{u-u_{-1}}}.$$

Можно показать, что оно приводится к виду (4) с многочленами

$$H = (u_1 - u)^2, \quad P = \frac{1}{2}(u_2 + u)(u_1 + u_{-1}) - u_{-1}u_1 - uu_2$$

и переходит в уравнение (3) для  $\tilde{u}$  при подстановке

$$\tilde{u} = \frac{1}{2\frac{(u_3-u_2)(u_1-u)}{(u_3-u_1)(u_2-u)} - 1}.$$

Дальше идёт еще около 10 примеров...

# Самый сложный пример

Дискретное уравнение (в мультиплексивной форме):

$$\begin{aligned} f(q, q_{1,0}; \alpha) f(q, q_{-1,0}; \alpha) f(q, q_{0,1}; \beta) f(q, q_{0,-1}; \beta) \\ \times f(q, q_{-1,-1}; \gamma) f(q, q_{1,1}; \gamma) = 1, \end{aligned}$$

где  $\alpha + \beta + \gamma = 0$  и

$$f(q, p; \alpha) = \frac{\sigma(q + p + \alpha)\sigma(q - p + \alpha)}{\sigma(q + p - \alpha)\sigma(q - p - \alpha)},$$

$\sigma$  — эллиптическая функция Вейерштрасса.

Дифференцирование:

$$\begin{aligned} \frac{q_x + 1}{q_x - 1} &= f(q, q_{1,0}; \alpha) f(q, q_{0,-1}; \beta) f(q, q_{1,1}; \gamma) \\ &= f(q, q_{-1,0}; -\alpha) f(q, q_{0,1}; -\beta) f(q, q_{-1,-1}; -\gamma), \end{aligned}$$

и аналогично для  $\partial_y, \partial_z$ .

# Самый сложный пример

При  $\beta = \gamma$ ,  $\alpha = -2\gamma$  поток  $\partial_t = \partial_y + \partial_z$  описывается уравнением

$$\dot{u} = \frac{1}{f(u, u_2; 2\gamma) f(u, u_1; -\gamma) f(u, u_{-1}; -\gamma) - 1} - \frac{1}{f(u, u_1; -\gamma) f(u, u_{-1}; -\gamma) f(u, u_{-2}; 2\gamma) - 1}.$$

В результате замены

$$\wp(u) = \tilde{u}$$

оно приводится к виду (4) с многочленом  $P$ , коэффициенты которого выражаются явными, но довольно громоздкими формулами через параметр  $\gamma$  и модули  $g_2, g_3$ . Можно показать, что это многочлен общего положения (следует отметить, что всего в  $P$  имеется 6 произвольных коэффициентов, но 3 убиваются дробно-линейными преобразованиями  $u$ ).